



LELEC1755

Partie « Lignes de transmission »

CM2

Éléments de circuits localisés

Lien entre lois de Maxwell et Kirchhoff

Matière traitée dans le 2e module LELEC1755

1. Equivalents EM des lemmes de Kirchhoff

- ⇒ circulation de E et conservation de la charge
- ⇒ lois des mailles et des noeuds

2. Résistance

3. Capacité

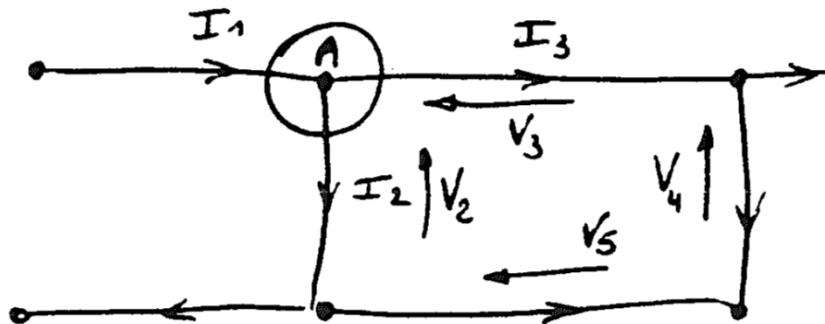
4. Inductance et reluctance

- ⇒ inductance propre
- ⇒ inductance mutuelle
- ⇒ reluctance

1. Rappel: lemmes de Kirchhoff

Théorie des circuits localisés

- Premier lemme de Kirchhoff: loi des nœuds
→ la somme des courants arrivant à un nœud est nulle
- Deuxième lemme de Kirchhoff: loi des mailles
→ la somme algébrique des tensions le long d'une maille est nulle



$$\sum_n I_n = 0$$

$$V_2 - V_3 - V_4 + V_5 = 0$$

Peut-on retrouver ces lemmes à partir des équations de Maxwell ?

1. Rappel: force électromotrice

Cas de la source de tension

Force électromotrice d'une batterie

Exemple: une batterie est connectée à un barreau conducteur

- Au sein du barreau
champ électrostatique E
courant J

- Au sein de la batterie
force électromotrice (créée par le processus chimique au sein de la batterie)
champ électrostatique créé par les charges statiques dues à la fem $E = -E_{mot}$

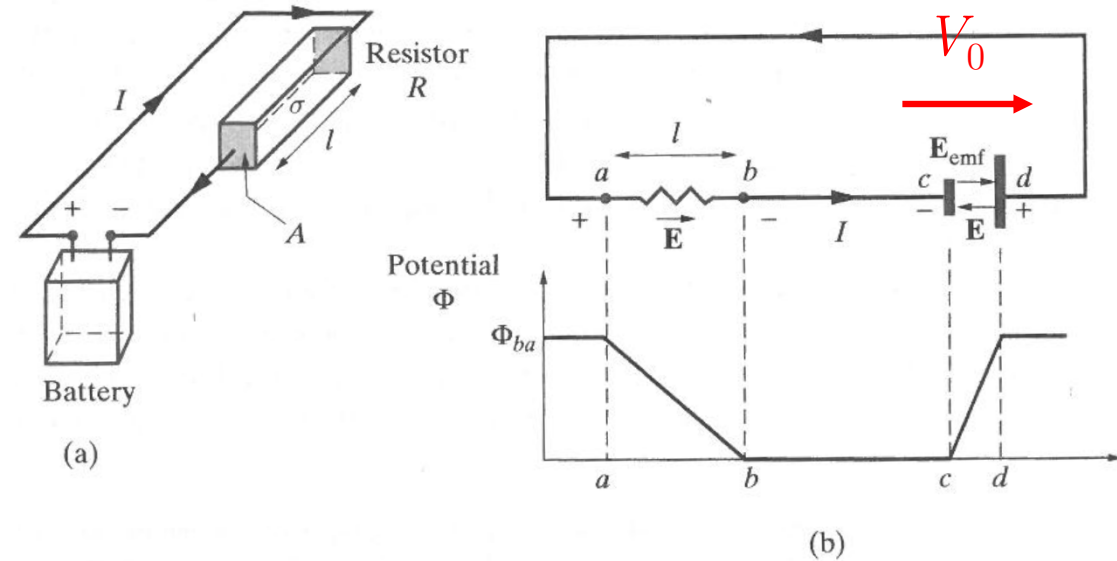
- Circulation de E

$$\oint \vec{E} \cdot d\vec{l} = 0 \Rightarrow \int_a^b \vec{E} \cdot d\vec{l} + \int_c^d \vec{E} \cdot d\vec{l} = 0 \Rightarrow \int_a^b \frac{\vec{J}}{\sigma} \cdot d\vec{l} - V_0 = 0$$

\downarrow
 $= -fem_{bat}$

- Champ électromoteur: $fem_{batt} = V_0 \rightarrow$

$$V_0 = -\int_c^d \vec{E} \cdot d\vec{l} = + \int_c^d \vec{E}_{mot} \cdot d\vec{l}$$



1. Equivalent EM des lemmes de Kirchhoff

Circuit RLC alimenté par une source de tension

➤ Circulation de E (Lenz-Faraday)

$$\oint \vec{E} \cdot d\vec{l} = -\frac{\partial \Phi_B}{\partial t}$$

$$\Rightarrow \int_a^b \vec{E} \cdot d\vec{l} + \int_b^c \vec{E} \cdot d\vec{l} + \int_c^d \vec{E} \cdot d\vec{l} + \int_d^a \vec{E} \cdot d\vec{l} = -\oint \frac{\partial \vec{B}}{\partial t} \cdot d\vec{S}$$

$$\vec{E}_C = -\nabla \phi_C$$

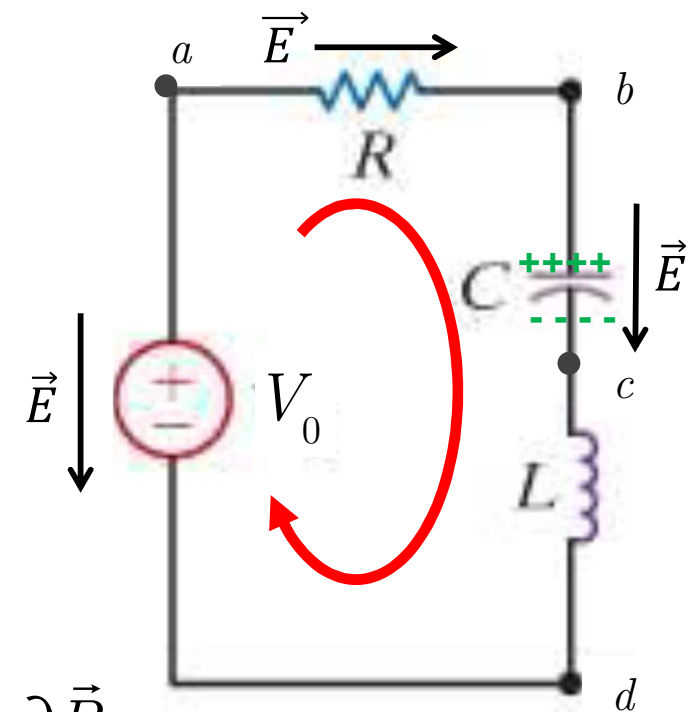
conducteur parfait,
contour le long de L

source de
tension

Stokes, $\nabla \times \vec{A} = \vec{B}$

$$\int_a^b \frac{\vec{J}_R}{\sigma} \cdot d\vec{l} + \int_c^b \nabla \phi_C \cdot d\vec{l} + \underbrace{\int_c^d \vec{E} \cdot d\vec{l}}_{=0 !!!} - V_0 = -\oint \frac{\partial \vec{A}}{\partial t} \cdot d\vec{l}$$

$$\Rightarrow \int_a^b \frac{\vec{J}_R}{\sigma} \cdot d\vec{l} + \int_c^b \nabla \phi_C \cdot d\vec{l} + \oint \frac{\partial \vec{A}}{\partial t} \cdot d\vec{l} = V_0 \stackrel{?}{\Leftrightarrow} RI + \frac{1}{C} \int I dt + L \frac{dI}{dt} = V_0$$



Loi des mailles

1. Equivalent EM des lemmes de Kirchhoff

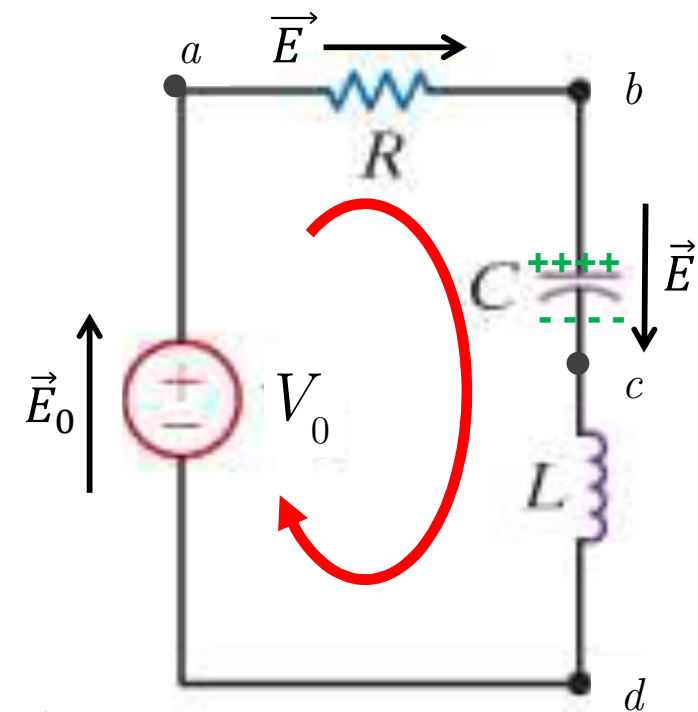
Circuit RLC alimenté par une source de tension

➤ Autre formulation

- champ lié aux charges/courants $\vec{E} = -\nabla\phi - \frac{\partial\vec{A}}{\partial t}$
- champ (électromoteur) de source \vec{E}_0

(n'existe que dans la source, $V_0 = \int_d^a \vec{E}_0 \cdot d\vec{l}$)

- champ total $\vec{E}_t = \vec{E}_0 + \vec{E} = \frac{\vec{J}}{\sigma} \Rightarrow \vec{E}_0 = \frac{\vec{J}}{\sigma} - \vec{E}$



Loi des mailles (KVL)

$$\Rightarrow \vec{E}_0 = \frac{\vec{J}}{\sigma} + \nabla\phi + \frac{\partial\vec{A}}{\partial t} \quad \Leftrightarrow \quad V_0 = RI + \frac{1}{C} \int I dt + L \frac{dI}{dt}$$

1. Equivalent EM des lemmes de Kirchhoff

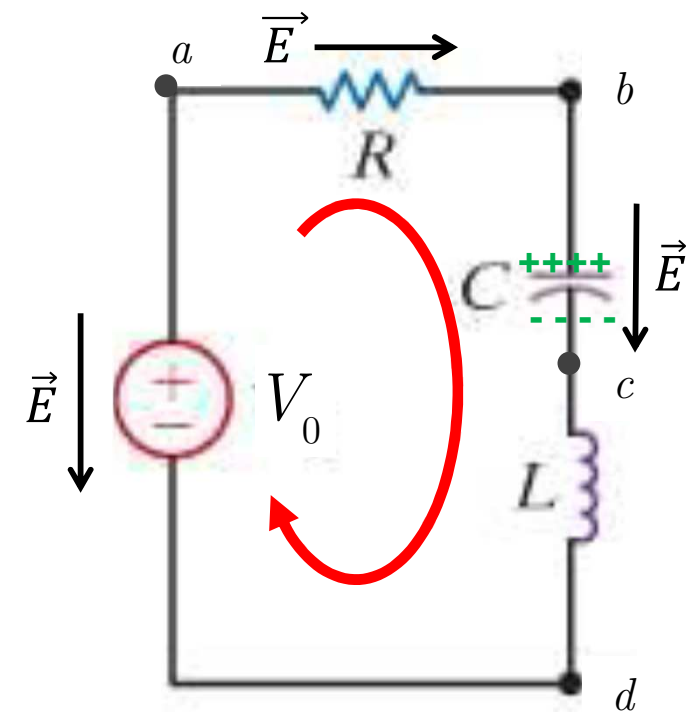
Circuit RLC alimenté par une source de tension

- Conservation de la charge (pas de courant de surface)

$$\vec{n} \cdot (\vec{J}_1 - \vec{J}_2) + \frac{\partial \rho_s}{\partial t} = 0 \Rightarrow -\vec{J}_R + \frac{\partial \rho_s}{\partial t} = 0$$

$$\Rightarrow \vec{J}_R = \frac{\partial \rho_s}{\partial t} = \frac{\partial(\vec{n} \cdot \vec{D})}{\partial t} \stackrel{?}{\Leftrightarrow} I = C \frac{dV_C}{dt}$$

Loi des noeuds (KCL)
aux point b (et c)



Les équivalences EM des lemmes de Kirchhoff permettent de définir les notions de **résistance**, **capacité** et **inductance** pour tout type de structure

2. Résistance

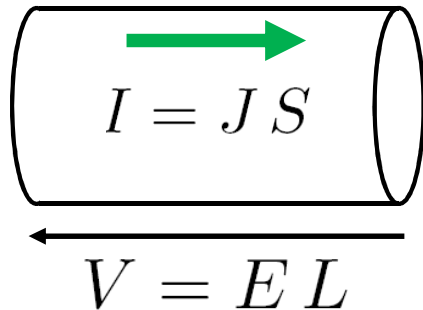
Définition

Courant de conduction et conductivité $\vec{J} = \sigma \vec{E}$

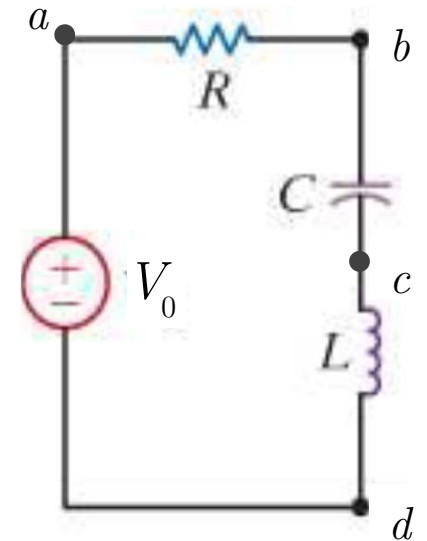
La conductivité σ

- est indépendante du champ et du courant
- dépend de la température
- est isotrope dans les métaux

Résistance



$$R = \frac{L}{\sigma S} \quad (\text{voir Physique 1})$$



De manière générale

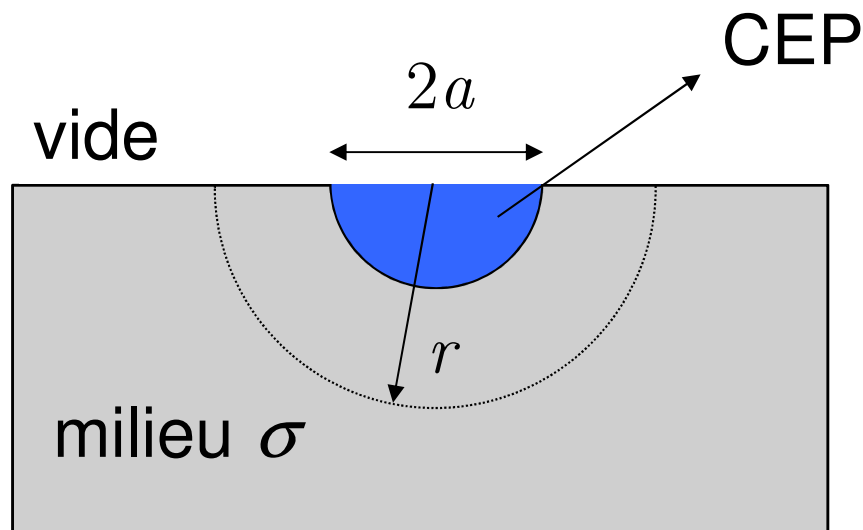
$$\Rightarrow \int_a^b \vec{E} \cdot d\vec{l} + \int_c^b \nabla \phi_C \cdot d\vec{l} + \oint \frac{\partial \vec{A}}{\partial t} \cdot d\vec{l} = V_0 \Leftrightarrow RI + \frac{1}{C} \int I dt + L \frac{dI}{dt} = V_0$$

$$RI = \int_a^b \vec{E} \cdot d\vec{l} \Rightarrow R = \frac{\int_a^b \vec{E} \cdot d\vec{l}}{\int_S \vec{J} \cdot d\vec{S}} = \frac{-\int_b^a \vec{E} \cdot d\vec{l}}{\int_S \sigma \vec{E} \cdot d\vec{S}} = \frac{\Delta V_R}{I}$$

2. Résistance

Application

Exemple: résistance d'une électrode hémisphérique



$$r > a : \vec{\nabla} \cdot \vec{D} = \vec{\nabla} \cdot \vec{E} = 0$$

$$\Rightarrow \frac{1}{r^2} \frac{\partial}{\partial r} (r^2 E_r) = 0 \Rightarrow E = \frac{E_0}{r^2}$$

$$R = \frac{-\int_{\infty}^a \vec{E} \cdot d\vec{l}}{\int_S \sigma \vec{E} \cdot d\vec{S}} = \frac{-\int_{\infty}^a (E_0 / r^2) dr}{\sigma (E_0 / r^2) 2\pi r^2} = \frac{1}{\sigma} \int_a^{\infty} \frac{dr}{2\pi r^2} = \frac{1}{2\pi\sigma a}$$

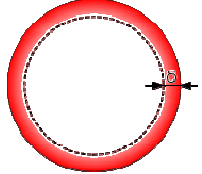
➤ pour $\sigma = 1 \text{ S/m}$ et $a = 10 \text{ cm} \rightarrow R = 1.6 \Omega$

2. Résistance

En régime alternatif: effet de peau

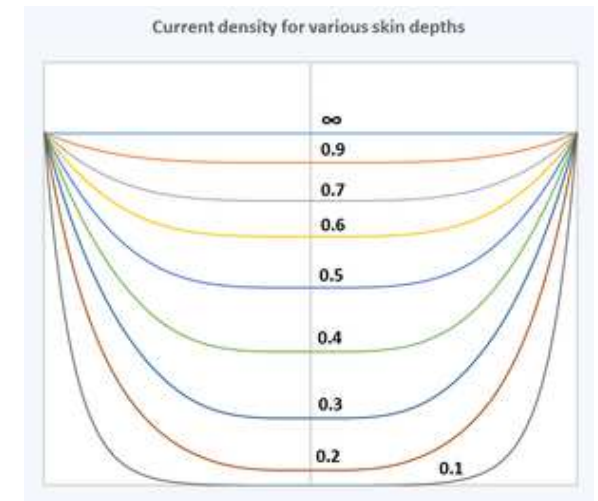
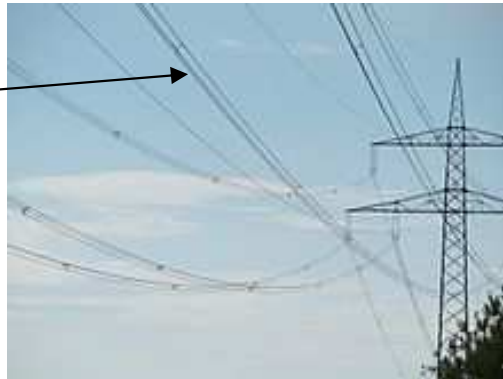
Dans un bon conducteur en courant alternatif

- On peut montrer (cfr. CM3) que les champs EM sont rejetés à la surface, ils ne pénètrent pas au-delà de quelques « profondeurs de peau »


$$\delta = \sqrt{\frac{2}{\omega \mu \sigma}}$$

- Le coefficient δ représente la profondeur de peau, c'est-à-dire la profondeur à laquelle le champ a diminué de e^{-1} → à 5 profondeurs de peau, le champ est réduit à 1% du champ à la surface du métal

Voilà pourquoi on met 3 fils au lieu d'un seul plus gros pour le transport d'électricité !

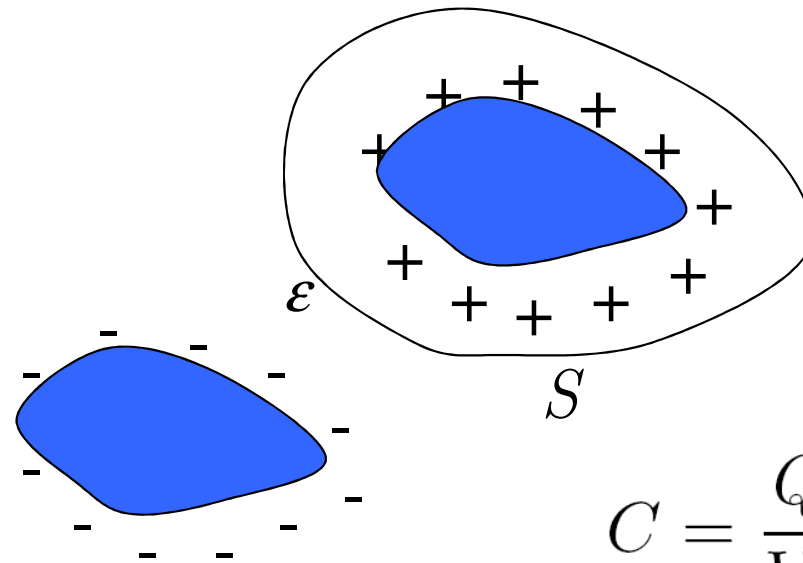


Pour le cuivre, δ vaut 9 mm à 50 Hz, 7 μ m à 100 MHz et 0,7 μ m à 10 GHz!

Répartition du courant dans un fil, pour différentes valeurs du rapport δ/a , a étant le rayon du fil (l'infini représente le courant DC)

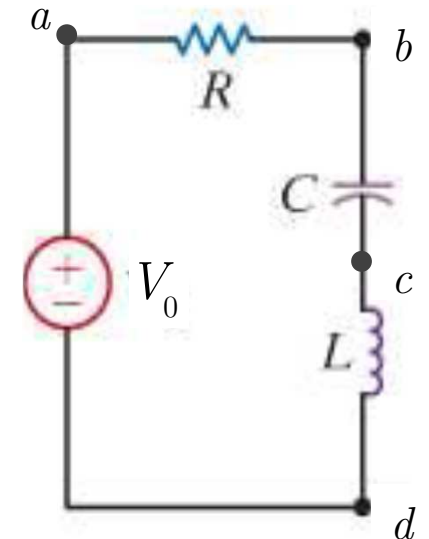
3. Capacité

Effet capacitif



$$C = \frac{Q}{V_0}$$

Définition



- La capacité exprime le rapport entre la charge et la différence de potentiel
- Or, la charge est l'intégrale du courant

$$\nabla \cdot \vec{J} = -\frac{\partial \rho}{\partial t} \Leftrightarrow I = \int_S \vec{J} \cdot d\vec{S} = -\frac{\partial}{\partial t} \int_V \rho dv = -\frac{\partial Q}{\partial t} \Leftrightarrow Q = -\int I dt$$

$$\Rightarrow \int_a^b \vec{E} \cdot d\vec{l} + \int_c^b \nabla \phi_C \cdot d\vec{l} + \oint \frac{\partial \vec{A}}{\partial t} \cdot d\vec{l} = V_0 \Leftrightarrow RI + \frac{1}{C} \int I dt - L \frac{dI}{dt} = V_0$$

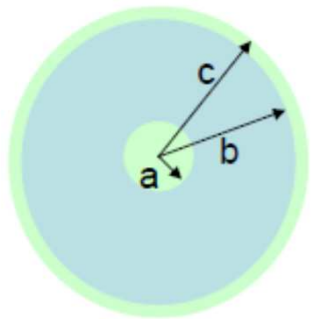
$$\frac{1}{C} \int I dt = \int_c^b \nabla \phi_C \cdot d\vec{l} \Rightarrow C = -\frac{Q}{\int_c^b \nabla \phi_C \cdot d\vec{l}} = -\frac{\int_S \vec{D} \cdot d\vec{S}}{-\int_c^b \vec{E} \cdot d\vec{l}} = \frac{\int_S \epsilon \vec{E} \cdot d\vec{S}}{\int_c^b \vec{E} \cdot d\vec{l}}$$

3. Capacité

Applications

Exemple 1: condensateur plan $C = \frac{Q}{V_0} = \frac{\epsilon S}{d}$

Exemple 2: capacité cylindrique (cable coaxial)



$$r > a : \vec{\nabla} \cdot \vec{D} = \vec{\nabla} \cdot \vec{E} = 0$$

$$\Rightarrow \frac{1}{r} \frac{\partial}{\partial r} (r E_r) = 0 \Rightarrow E = \frac{E_0}{r}$$

$$C = \frac{\int_S \epsilon \cdot (E_0 / r) 2\pi r dz}{\int_a^b E_0 / r dr} = \frac{2\pi\epsilon\ell}{\int_a^b 1/r dr} = \frac{2\pi\epsilon\ell}{\ln(b/a)}$$

Exemple 3: capacité sphérique

$$C = \frac{\epsilon \cdot (E_0 / r^2) 4\pi r^2}{\int_a^b E_0 / r^2 dr} = \frac{4\pi\epsilon}{\int_a^b 1/r^2 dr} = \frac{4\pi\epsilon}{\frac{1}{a} - \frac{1}{b}}$$

4. Inductance

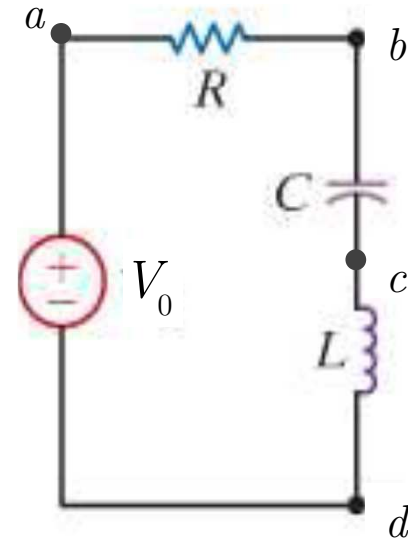
$$\Rightarrow \int_a^b \vec{E} \cdot d\vec{l} + \int_c^b \nabla \phi_C \cdot d\vec{l} + \oint \frac{\partial \vec{A}}{\partial t} \cdot d\vec{l} = V_0$$
$$\Leftrightarrow RI + \frac{1}{C} \int I dt + L \frac{dI}{dt} = V_0$$

Si le chemin d'intégration ne varie pas dans le temps

$$\Rightarrow \oint \frac{\partial \vec{A}}{\partial t} \cdot d\vec{l} = \frac{\partial}{\partial t} \oint \vec{A} \cdot d\vec{l} = L \frac{dI}{dt} \Leftrightarrow LI = \oint \vec{A} \cdot d\vec{l} = \int_S (\vec{\nabla} \times \vec{A}) \cdot d\vec{S} = \int_S \vec{B} \cdot d\vec{S}$$

$$\Rightarrow L = \frac{\int_S \vec{B} \cdot d\vec{S}}{I} = \frac{\Phi}{I} = \frac{\int_S \vec{B} \cdot d\vec{S}}{\oint H \cdot d\vec{l}}$$

Définition

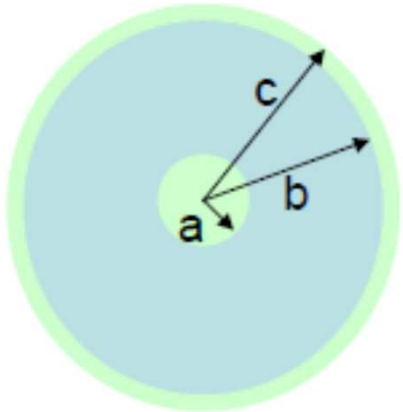


- L'inductance exprime le rapport entre le flux magnétique et le courant qui a créé ce flux

4. Inductance

Applications

Exemple 1: cable coaxial



$$a < r < b : \vec{\nabla} \times \vec{H} = \vec{J} = 0$$

$$\Rightarrow \frac{1}{r} \frac{\partial (r H_{\phi})}{\partial r} = 0 \Rightarrow H_{\phi} = \frac{I}{2\pi r}$$

$$L = \frac{\int_S \vec{B} \cdot d\vec{S}}{I} = \frac{\int_S \mu \cdot (I/2\pi r) dr dz}{I} = \frac{\mu \ell}{2\pi} \int_a^b \frac{dr}{r} = \frac{\mu \ln(b/a) \ell}{2\pi}$$

4. Inductance

Applications

Exemple 2: solénoïde et toroïde

$$L_{sol} = \frac{\int_S \vec{B} \cdot d\vec{S}}{I} = \frac{N\Phi}{I} = N^2 \mu \frac{\pi a^2}{\ell}$$

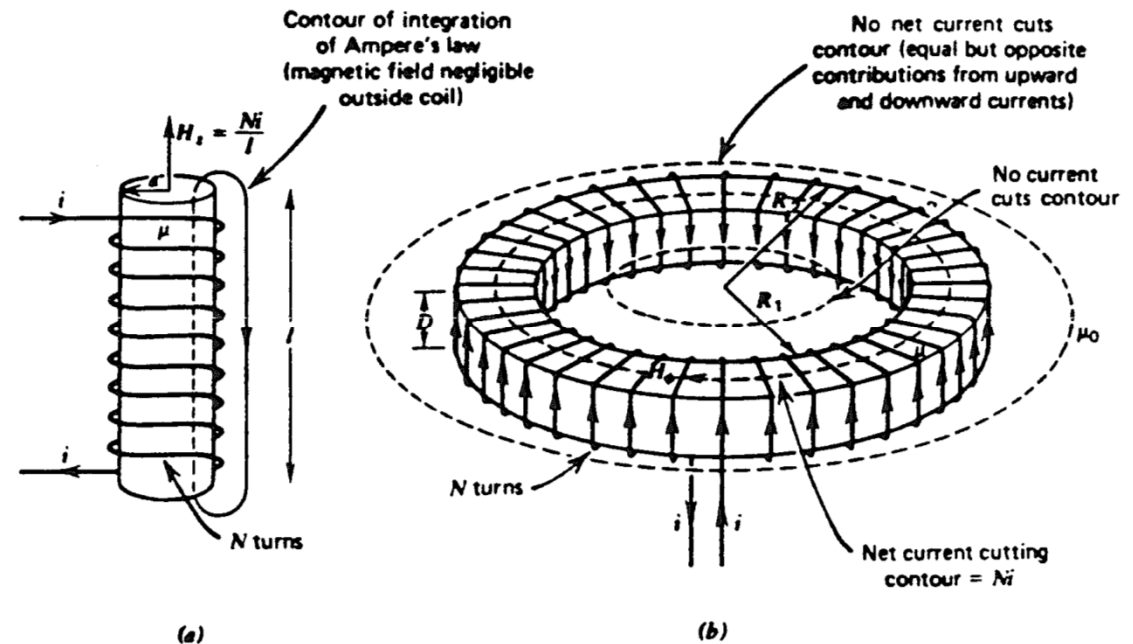


Figure 6-10 Inductances. (a) Solenoidal coil; (b) toroidal coil.

$$\begin{aligned} L_{tor} &= \frac{\int_S \vec{B} \cdot d\vec{S}}{I} = N \frac{\int_S \mu \cdot \left(\frac{NI}{2\pi r} \right) D dr}{I} \\ &= \frac{\mu N^2 D}{2\pi} \int_{R_1}^{R_2} \frac{dr}{r} = \frac{\mu N^2 D}{2\pi} \ln \frac{R_2}{R_1} \end{aligned}$$

4. Inductance

Rappel Physique 2

Bobine 1 intercepte $N_1 \Phi_1(I_1) \Rightarrow L_1 = \frac{N_1 \Phi_1(I_1)}{I_1}$

Bobine 2 intercepte $N_2 \Phi_2(I_2) \Rightarrow L_2 = \frac{N_2 \Phi_2(I_2)}{I_2}$

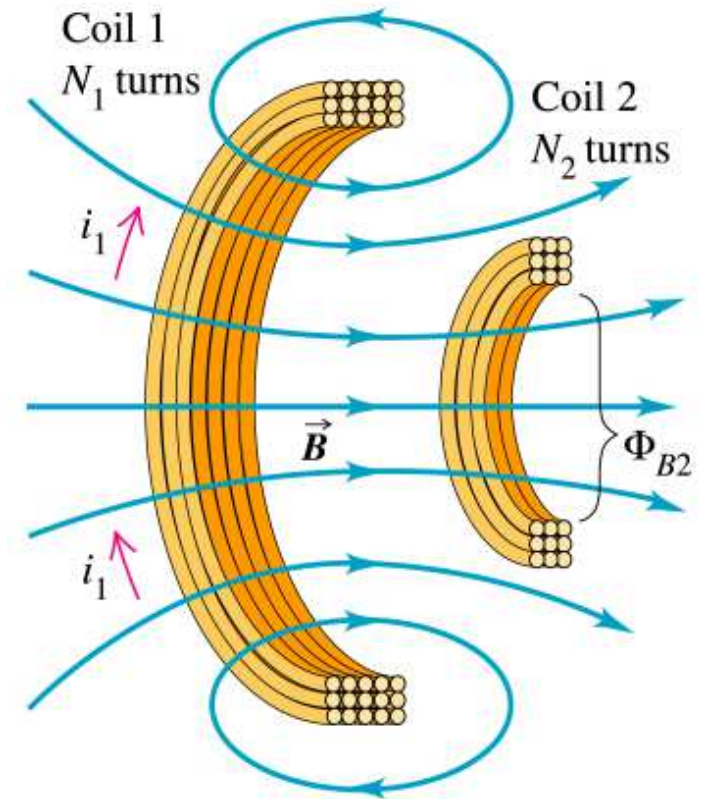
Bobine 2 intercepte aussi $N_2 \Phi_1(I_1) \Rightarrow M_{21} = \frac{N_2 \Phi_1(I_1)}{I_1}$

Bobine 1 intercepte aussi $N_1 \Phi_2(I_2) \Rightarrow M_{12} = \frac{N_1 \Phi_2(I_2)}{I_2}$

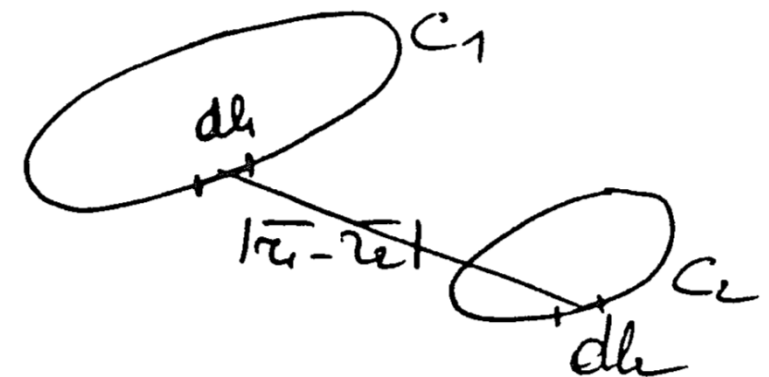
Définition formelle

$$L_{12} = L_{21} = \frac{\mu}{4\pi} \int_{C_1} \int_{C_2} \frac{d\vec{l}_1 \cdot d\vec{l}_2}{|\vec{r}_1 - \vec{r}_2|}$$

Inductance mutuelle



Copyright © Addison Wesley Longman, Inc.



4. Inductance et reluctance

Rappels: circuits magnétiques

Circuit magnétique sans entrefer

➤ Application de la loi d'Ampère

$$\oint_{\Gamma} \vec{H} \cdot d\vec{l} \cong H.l = NI$$

→ valable pour tout contour !

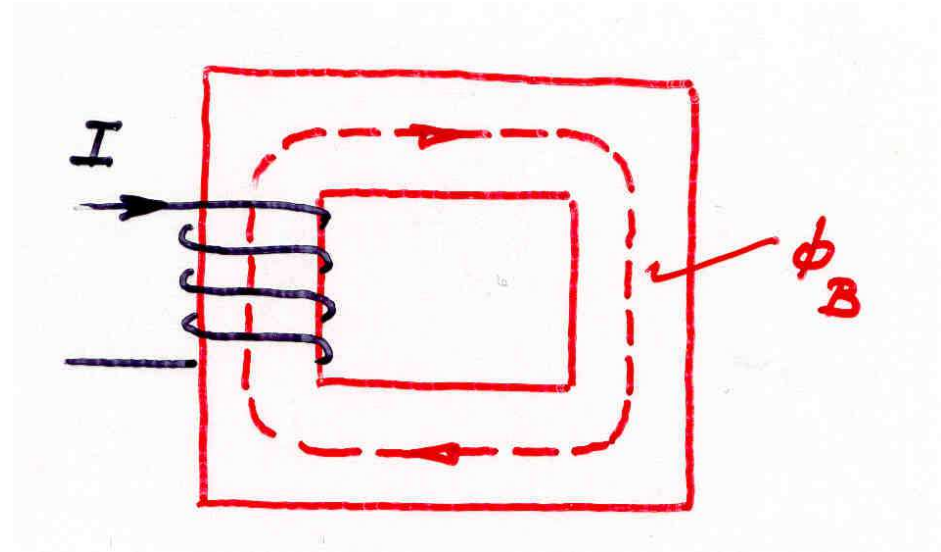
$$H_e \cong H_i$$

dans le noyau $B_i = \mu_o \mu_r H_i$

à la surface (latérale) $B_e = \mu_o H_e$

$$\Rightarrow \text{si } \mu_r \gg 1 \text{ alors } B_i \gg B_e$$

en dehors $B_{ext} \cong 0$

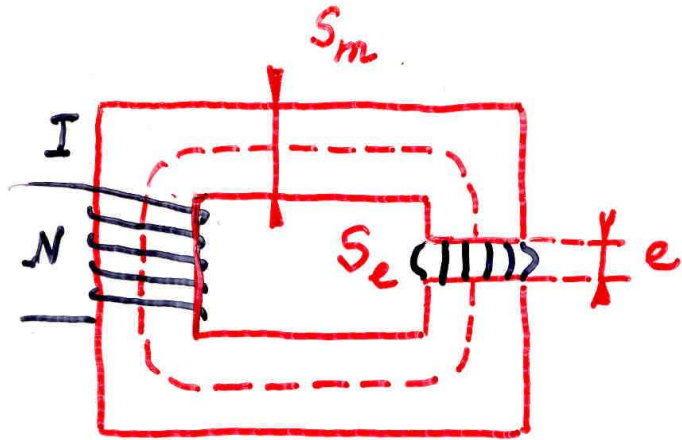


4. Inductance et reluctance

Rappels: circuits magnétiques

Circuit magnétique avec entrefer

➤ Application de la loi d'Ampère



$$B_i = \mu_o \mu_r H_m$$

$$B_e = \mu_o H_e$$

conservation du flux

$$\Phi_B = \int_S \vec{B} \cdot d\vec{S} \cong B.S$$

$$S_e \cong S_m \cong S \Rightarrow B_e \cong B_m \cong B$$

loi d'Ampère

$$\oint_{\Gamma} \vec{H} \cdot d\vec{l} \cong H_m.L + H_e.e = NI$$

$$\text{Si } \mu_r \gg 1 \Rightarrow H_e \gg H_m$$

4. Inductance et reluctance

Force magnétomotrice et réluctance

Force magnétomotrice \equiv circulation du champ magnétique [At]

➤ Pour un tore circulaire (sans entrefer), on a dans le matériau

$$B_{\phi} = \mu_r \mu_0 \frac{NI}{2\pi R} \quad (a \ll R)$$

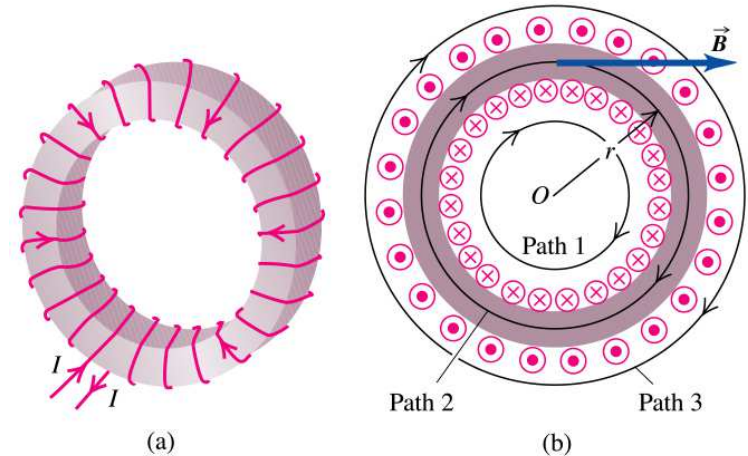
➤ Avec un entrefer

$$\Phi_B = \int_S \vec{B} \cdot d\vec{S} \cong B.S$$

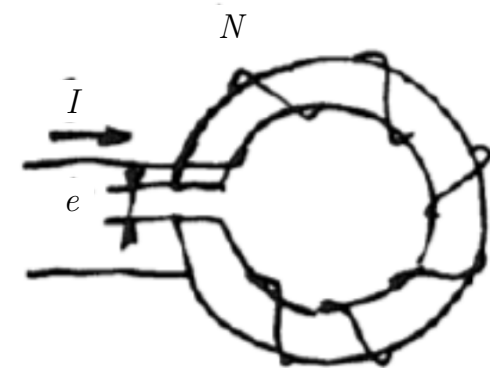
$$S_e \cong S_m \cong S \Rightarrow B_e \cong B_m \cong B$$

$$\oint_{\Gamma} \vec{H} \cdot d\vec{l} \cong H_m.L + H_e.e = NI$$

$$B_{\phi} = \mu_r \mu_0 \frac{NI}{(2\pi R - e) + \mu_r e}$$



Copyright © Addison Wesley Longman, Inc.



4. Inductance et reluctance

Force magnétomotrice et réluctance

On peut en déduire un schéma équivalent en écrivant la relation sous la forme

$$\phi = \frac{\mathcal{F}}{\frac{2\pi R - e}{\mu A} + \frac{e}{\mu_0 A}} = \frac{\mathcal{F}}{\mathcal{R}_m + \mathcal{R}_e}$$

- \mathcal{R}_m est la reluctance du noyau
- \mathcal{R}_e est la reluctance de l'entrefer
- $\mathcal{F} = NI$ est la force *magnéto-motrice*

Loi d'Hopkinson

$$\mathcal{F} = \mathcal{R}\phi$$

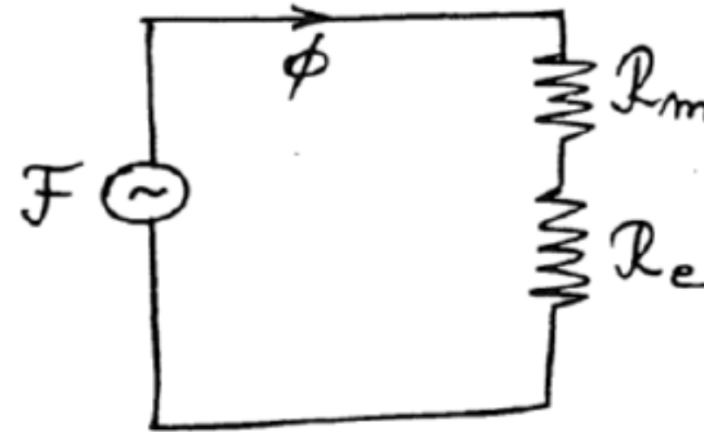
- Ressemble à la loi d'Ohm

4. Inductance et reluctance

Reluctance

Circuit équivalent

$$\mathcal{R} = \frac{\oint \vec{H} \cdot d\vec{l}}{\int_S \vec{B} \cdot d\vec{S}} = \frac{\ell}{\mu_o \mu_r A}$$



- La réluctance de l'entrefer est généralement beaucoup plus grande que celle d'un noyau magnétique
- Lien entre reluctance et inductance d'un circuit magnétique

$$\mathcal{R} = \frac{NI}{\phi} \quad L = \frac{N\phi}{I} \quad \Rightarrow \quad \mathcal{R} = \frac{N^2}{L}$$